

Suporte financeiro

Nenhum.

Contribuição dos autores

Camila Roos Mariano da Rocha: Análise estatística; aprovação da versão final do manuscrito; concepção e planejamento do estudo; elaboração e redação do manuscrito; obtenção, análise e interpretação dos dados; participação intelectual em conduta propedêutica e/ou terapêutica de casos estudados; revisão crítica da literatura; revisão crítica do manuscrito.

Thais Corsetti Grazziotin: Concepção e planejamento do estudo; elaboração e redação do manuscrito; obtenção, análise e interpretação dos dados; participação efetiva na orientação da pesquisa; participação intelectual em conduta propedêutica e/ou terapêutica de casos estudados; aprovação da versão final do manuscrito.

Renan Rangel Bonamigo: Análise estatística; concepção e planejamento do estudo; elaboração e redação do manuscrito; obtenção, análise e interpretação dos dados; participação efetiva na orientação da pesquisa; participação intelectual em conduta propedêutica e/ou terapêutica de casos estudados; aprovação da versão final do manuscrito.

Conflito de interesses

Nenhum.

Referências

- Caccavale S, Calabrese G, Mattiello E, Broganelli P, Ramondetta A, Pieretti G, et al. Cutaneous melanoma arising in congenital melanocytic nevus: a retrospective observational study. *Dermatology*. 2020;14:1–6.
- Kopf AW, Bart RS, Hennessey P. Congenital nevocytic nevi and malignant melanomas. *J Am Acad Dermatol*. 1979;1:123–30.
- Wu PA, Mancini AJ, Marghoob AA, Frieden IJ. Simultaneous occurrence of infantile hemangioma and congenital melanocytic nevus: coincidence or real association? *J Am Acad Dermatol*. 2008;58 Suppl:S16–22.
- Tannous ZS, Mihm MC Jr, Sober AJ, Duncan LM. Congenital melanocytic nevi: clinical and histopathologic features, risk of melanoma, and clinical management. *J Am Acad Dermatol*. 2005;52:197–203.

- Zaal LH, Mooi WJ, Klip H, Horst CMAM. Risk of malignant transformation of congenital melanocytic nevi: a retrospective nationwide study from The Netherlands. *Plast Reconstr Surg*. 2005;116:1902–9.
- Sahin S, Levin L, Kopf AW, Rao BK, Triola M, Koenig K, et al. Risk of melanoma in medium-sized congenital melanocytic nevi: a follow-up study. *J Am Acad Dermatol*. 1998;39:428–33.
- Seidenari S, Martella A, Pellacani G. Polarized light-surface microscopy for description and classification of small and medium-sized congenital melanocytic naevi. *Acta Derm Venereol*. 2003;83:1–6.
- Fernandes NC, Machado JLR. Estudo clínico dos nevos melanocíticos congênitos na criança e no adolescente. *An Bras Dermatol*. 2009;84:129–35.
- Cengiz FP, Emiroglu N, Ozkaya DB, Su O, Onsun N. Dermoscopic features of small, medium, and large-sized congenital melanocytic nevi. *Ann Dermatol*. 2017;29:26–32.
- Changchien L, Dusza SW, Agero ALC, Korzenko AJ, Braun RP, Sachs D, et al. Age - and site-specific variation in the dermoscopic patterns of congenital melanocytic nevi an aid to accurate classification and assessment of melanocytic nevi. *Arch Dermatol*. 2007;143:1007–14.
- Stefanaki C, Soura E, Stergiopoulos A, Kontochristopoulos G, Katsarou A, Potouridou I, et al. Clinical and dermoscopic characteristics of congenital melanocytic naevi. *J Eur Acad Dermatol Venereol*. 2018;32:1674–80.

Camila Roos Mariano da Rocha  ^{a,*},

Thais Corsetti Grazziotin  ^b

e Renan Rangel Bonamigo  ^{a,c,d}

^a Universidade Federal de Ciências da Saúde de Porto Alegre, Porto Alegre, RS, Brasil

^b Escola de Medicina, Pontifícia Universidade Católica do Rio Grande do Sul, Porto Alegre, RS, Brasil

^c Faculdade de Medicina, Universidade Federal do Rio Grande do Sul, Porto Alegre, RS, Brasil

^d Serviço de Dermatologia da Irmandade Santa Casa de Misericórdia de Porto Alegre, Porto Alegre, RS, Brasil

* Autor para correspondência.

E-mail: camilamarionadarocha@gmail.com (C.R. Rocha).

Recebido em 25 de novembro de 2020; aceito em 20 de março de 2021

<https://doi.org/10.1016/j.abdp.2021.03.002>

2666-2752/ © 2022 Publicado por Elsevier España, S.L.U. em nome de Sociedade Brasileira de Dermatologia. Este é um artigo Open Access sob uma licença CC BY (<http://creativecommons.org/licenses/by/4.0/>).

Dermatoscopia e ultrassonografia de lesões nodulares de sarcoma de Kaposi: novos conhecimentos para conduzir a quimioterapia intralesional?

Prezado Editor,

O sarcoma de Kaposi (SK) é neoplasia mesenquimal angio-proliferativa rara, de baixo grau, associada ao herpes-vírus

humano 8 (HHV-8), caracterizada por manchas, placas e nódulos cutâneos.¹

A dermatoscopia e a ultrassonografia (US) são técnicas complementares úteis no estudo das lesões do SK;^{2,3} a US também fornece orientação valiosa para o tratamento intralesional.⁴ A correlação entre os achados dermatoscópicos e ultrassonográficos ainda não foi relatada no SK. Descrevemos dois casos de lesões nodulares de SK de tamanho médio a grande, virgens de tratamento, com características arquitetônicas e vasculares complexas, avaliadas por dermatoscopia e US. Especula-se que a avaliação das lesões do SK através de técnicas não invasivas possa auxiliar no manejo adequado da quimioterapia intralesional.

Caso 1

Um homem de 82 anos com SK clássico comprovado pela histopatologia, de longa data e com história médica sem

★ Como citar este artigo: Nazzaro G, Tourlaki A, Maronese CA, Zelin E, Passoni E, Brambilla L. Dermoscopy and ultrasonography of Kaposi's sarcoma nodules: new insights to guide intralesional chemotherapy? *An Bras Dermatol*. 2022;97:665–7.

☆☆ Trabalho realizado na Unidade de Dermatologia, Fondazione IRCCS Ca' Granda Ospedale Maggiore Policlinico, Milão, Itália.

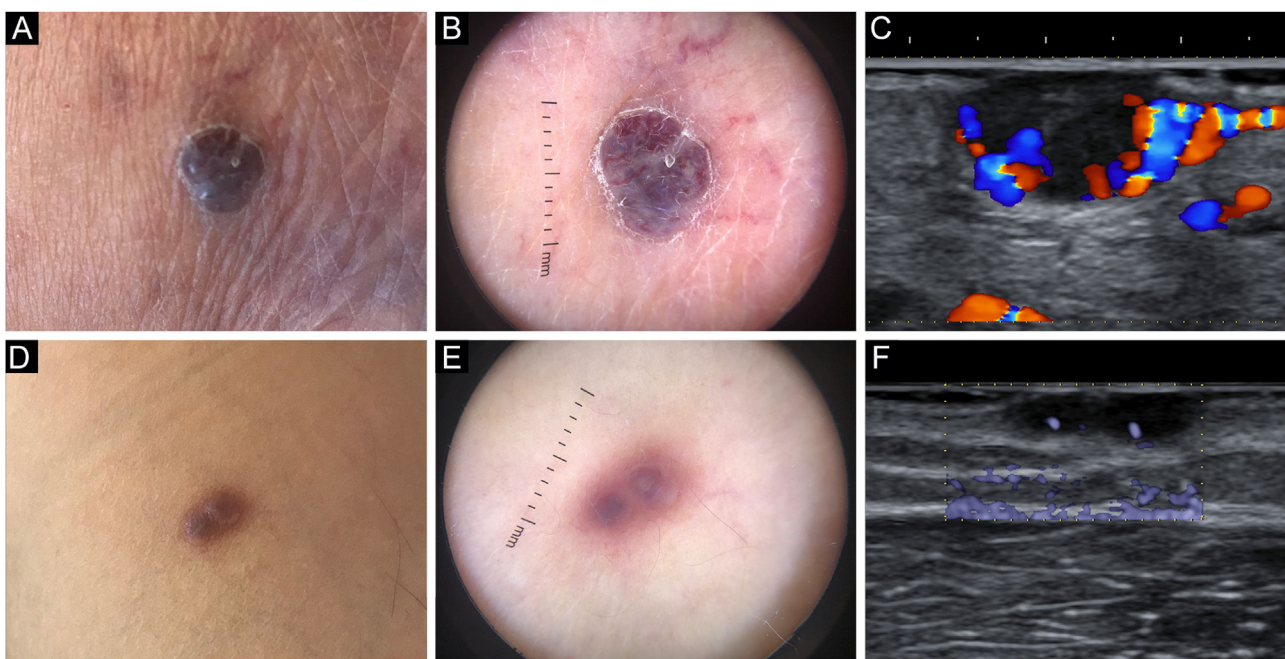


Figura 1 Aparência clínica, dermatoscópica (dispositivo portátil DermLite DL200 Hybrid, 3Gen, San Juan Capistrano, CA) e ultrassonográfica (transdutor de matriz linear multifreqüência ARIETTA 850 15,0-18,0 MHz, Hitachi Medical Systems®, Zug, Suíça) das lesões estudadas dos pacientes 1 (A - C) e 2 (D-F).

características dignas de nota, queixou-se de uma lesão recém-formada no calcanhar esquerdo, apresentando-se clinicamente como um nódulo violáceo medindo 9 × 6 mm, com descamação em colarete periférico. A dermatoscopia mostrou duas grandes áreas vasculares violáceas separadas por uma área branca acinzentada e sem estrutura (fig. 1a-b). Ao exame com US em modo B, a lesão apresentava estrutura oval hipoeocoica com bordas bem demarcadas e com septo normoecoico mediano interno delimitando duas subunidades separadas. O exame com Doppler colorido revelou que as subunidades eram supridas por dois vasos sanguíneos diferentes. Além disso, seu fluxo sanguíneo não se comunicava em grau significativo (fig. 1c/Vídeo 1 – material suplementar).

Caso 2

Um homem de 63 anos com SK clássico comprovado pela histopatologia, de longa data e com histórico médico normal, veio à consulta em virtude do aparecimento de um nódulo angiomiátesco medindo 7 × 5 mm no braço direito, apresentando superfície lisa e borda desbotada. A dermatoscopia evidenciou duas áreas violáceas sem estrutura sobre fundo rosa-acastanhado, separadas por uma área um pouco mais pálida entre elas; além disso, nenhuma estrutura vascular foi observada (fig. 1d-e). Na US em modo B, o nódulo apresentava duas subunidades adjacentes, e uma estrutura semelhante a um septo foi observada no centro da lesão. As imagens no modo eFlow confirmaram a presença de pedúnculos vasculares distintos suprindo cada subunidade (fig. 1f).

Foi oferecido em ambos os casos o tratamento intralesional com vincristina, adequado para o tamanho da lesão – a quantidade de vincristina infiltrada era pro-

porcional ao maior diâmetro do nódulo, medido clínica e dermatoscopicamente.⁵ Mais especificamente, 0,09 mL e 0,07 mL de sulfato de vincristina (Vincristina Teva, Teva Italia Srl®, Assago, Itália) na concentração de 1 mg/mL foram administrados no pacientes 1 e 2, respectivamente.

Uma resposta completa foi alcançada em ambos os casos, sem evidência clínica de recorrência após 12 meses de seguimento.

A administração intralesional de medicamentos é particularmente vantajosa em lesões nodulares de SK, potencializando a presença de uma pseudocápsula para contenção e concentração da medicação. Falhas terapêuticas e até mesmo piora paradoxal nos dias seguintes à injeção são raras, mas já foram descritas. Os fatores predisponentes conhecidos incluem grande tamanho da lesão (7-8 mm) e localização plantar e plantar lateral do nódulo.⁵ Septos que delimitam espaços vasculares autônomos dentro de lesões nodulares de SK podem teoricamente levar ao aprisionamento do medicamento, preenchimento excessivo e subsequente ativação inflamatória nos tecidos circundantes após o tratamento. São apresentados dois casos de SK nos quais a dermatoscopia revelou áreas sem estrutura, esbranquiçadas-acinzentadas correspondendo a septos na ultrassonografia. Mais pesquisas são necessárias para demonstrar uma relação causal entre a complexidade estrutural e falhas terapêuticas observadas com quimioterapia intralesional.

Embora nenhuma recomendação definitiva possa ser dada nesse momento, argumenta-se que seria prudente examinar lesões nodulares de SK para verificar a presença de características dermatoscópicas sugestivas de septações antes do tratamento intralesional. Caso alguma septação seja observada, um estudo ultrassonográfico, bem como

a administração de vincristina guiada por US, podem ser oferecidos.⁴

Suporte financeiro

Nenhum.

O consentimento informado foi obtido para publicar fotografias e dados dos pacientes. O compartilhamento de dados não é aplicável a este artigo, pois nenhum novo dado foi criado ou analisado no presente estudo.

Contribuição dos autores

Gianluca Nazzaro: Aprovação da versão final do manuscrito; elaboração e redação do manuscrito; obtenção, análise e interpretação dos dados; participação intelectual em conduta propedêutica e/ou terapêutica de casos estudados; revisão crítica da literatura; revisão crítica do manuscrito.

Athanasia Tourlaki: Aprovação da versão final do manuscrito; elaboração e redação do manuscrito; obtenção, análise e interpretação dos dados; participação intelectual em conduta propedêutica e/ou terapêutica de casos estudados; revisão crítica da literatura; revisão crítica do manuscrito.

Carlo Alberto Maronese: Aprovação da versão final do manuscrito; elaboração e redação do manuscrito; obtenção, análise e interpretação dos dados; participação intelectual em conduta propedêutica e/ou terapêutica de casos estudados; revisão crítica da literatura; revisão crítica do manuscrito.

Enrico Zelin: Aprovação da versão final do manuscrito; revisão crítica do manuscrito.

Emanuela Passoni: Aprovação da versão final do manuscrito; participação intelectual em conduta propedêutica e/ou terapêutica de casos estudados; revisão crítica do manuscrito.

Lucia Brambilla: Aprovação da versão final do manuscrito; participação intelectual em conduta propedêutica e/ou terapêutica de casos estudados; revisão crítica do manuscrito.

Conflito de interesses

Nenhum.

Dermoscopia em melanomas sincrônicos em série de casos^{☆,☆☆}



Prezado Editor,

Cerca de 5% dos pacientes com diagnóstico de melanoma apresentarão um segundo melanoma primário, e estima-se que 26 a 40% sejam sincrônicos.¹ Definem-se como tumores

[☆] Como citar este artigo: Sá DC, Pinheiro JA, Magalhães EPB, Pontes MAA. Dermoscopy in synchronous melanomas: a case series. An Bras Dermatol. 2022;97:667–73.

^{☆☆} Trabalho realizado no Centro de Dermatologia Dona Libânia, Fortaleza, CE, Brasil.

Apêndice. Material adicional

Pode consultar o material adicional para este artigo na sua versão eletrónica disponível em [doi:10.1016/j.abdp.2022.07.024](https://doi.org/10.1016/j.abdp.2022.07.024).

Referências

- Schwartz RA, Micali G, Nasca MR, Scuderi L. Kaposi sarcoma: a continuing conundrum. *J Am Acad Dermatol*. 2008;59:179–206.
- Yilmaz TE, Akay BN, Heper AO. Dermoscopic findings of Kaposi sarcoma and dermatopathological correlations. *Australas J Dermatol*. 2020;61:e46–53.
- Carrascosa R, Alfageme F, Roustán G, Suarez MD. Skin Ultrasound in Kaposi Sarcoma. *Actas Dermosifiliogr*. 2016;107:e19–22.
- Nazzaro G, Genovese G, Tourlaki A, Passoni E, Berti E, Brambilla L. Ultrasonographic intraoperative monitoring and follow-up of Kaposi's sarcoma nodules under treatment with intralesional vincristine. *Skin Res Technol*. 2019;25:200–3.
- Brambilla L, Bellinvia M, Tourlaki A, Scoppio B, Gaiani F, Boneschi V. Intralesional vincristine as first-line therapy for nodular lesions in classic Kaposi sarcoma: a prospective study in 151 patients. *Br J Dermatol*. 2010;162:854–9.

Gianluca Nazzaro ^a, Athanasia Tourlaki ^a, Carlo Alberto Maronese ^{a,b,*}, Enrico Zelin ^c, Emanuela Passoni ^a e Lucia Brambilla ^a

^a Unidade de Dermatologia, Fondazione IRCCS Ca' Granda Ospedale Maggiore Policlinico, Milão, Itália

^b Departamento de Fisiopatologia e Transplantes, Università degli Studi di Milano, Milão, Itália

^c Departamento de Dermatologia e Venereologia, Dermatology Clinic, Maggiore Hospital, University of Trieste, Trieste, Itália

* Autor para correspondência.

E-mail: carlo.maronese@unimi.it (C.A. Maronese).

Recebido em 8 de fevereiro de 2021; aceito em 9 de março de 2021

<https://doi.org/10.1016/j.abdp.2022.07.024>

2666-2752/ © 2022 Sociedade Brasileira de Dermatologia.

Publicado por Elsevier España, S.L.U. Este é um artigo Open Access sob uma licença CC BY (<http://creativecommons.org/licenses/by/4.0/>).

sincrônicos aqueles diagnosticados no mesmo momento ou dentro do intervalo de até três meses.²

O melanoma pode exibir amplo espectro de apresentação dermatoscópica, e o padrão em casos sincrônicos foi avaliado em poucos estudos. Foi aventado que, se fatores endógenos e exógenos para um indivíduo permanecem os mesmos, as características clínicas e dermatoscópicas das lesões deveriam ser semelhantes.³ O maior conhecimento provém de duas publicações de Moscarella et al., que avaliaram a dermatoscopia de melanomas múltiplos e incluíram 32 pacientes com neoplasias sincrônicas em um estudo e 18 casos no outro.^{2,3} No primeiro estudo, observou-se maior chance de lesões sincrônicas exibirem dermatoscopia semelhante quando comparadas com melanomas metacrônicos.³ No outro, a similaridade dermatoscópica